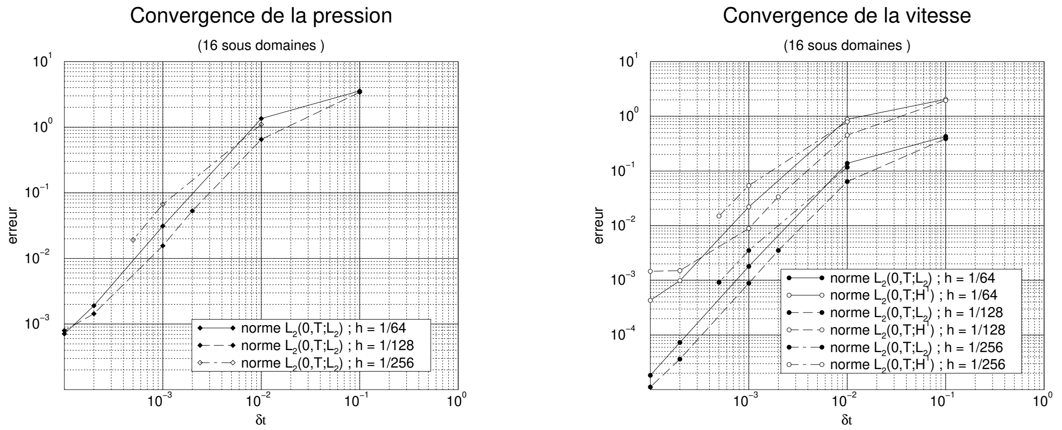

FIG. 0.1 – *Courbes de convergence de la méthode. Erreur sur la pression en fonction de δt pour trois valeurs du pas d'espace h (à gauche); erreur sur la vitesse (à droite).*

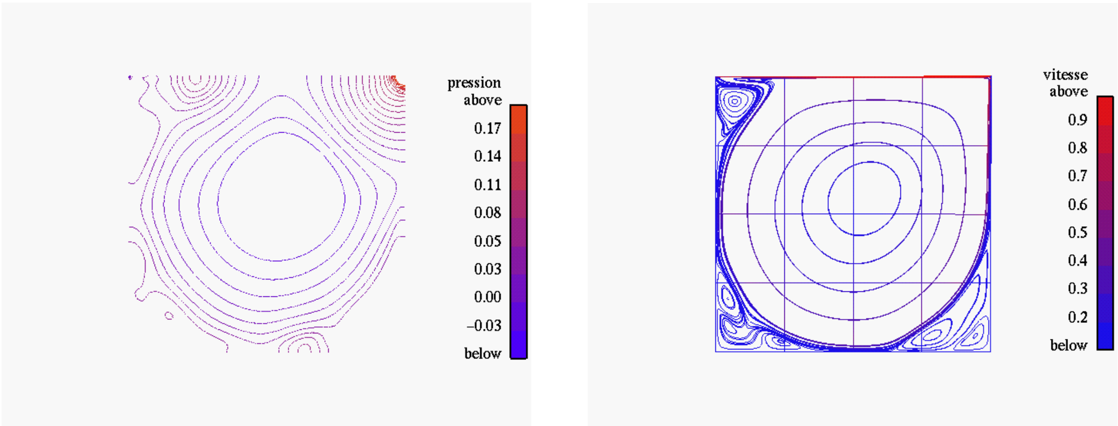

FIG. 0.2 – *Cavité entrainée à Reynolds 5000, 16 sous-domaines. Champ de pression à gauche (noter la continuité de la pression aux interfaces des sous-domaines), lignes de courant à droite.*

PE_s	T_t (in s)	$PE_s * T_t$ (in s)	Prediction step		Projection step	
			time	N_bCG_{it}	time	N_bPCG_{it}
16	6.1	98.4	4.27	65	1.88	9
32	3.2	102.3	2.36	82	0.83	8
64	1.7	111.5	1.35	94	0.39	8

TAB. 0.1 – *Evolution du temps de calcul pour l'étape de prédiction et l'étape de projection en fonction du nombre de processeurs. PE_s est le nombre de processeurs, T_t temps total en seconde pour un pas de temps, N_bCG_{it} nombre d'itérations du gradient conjugé.*